



Skript zur Vorlesung

Datenbanksysteme II

Sommersemester 2006

Kapitel 8: Ähnlichkeitsmodelle für Polygone und 3D Daten

Vorlesung: Christian Böhm

Übungen: Elke Achtert, Peter Kunath, Alexey Pryakhin

Skript © 2006 Christian Böhm

<http://www.dbs.informatik.uni-muenchen.de/Lehre/DBSII>



Inhalt

1. Formhistogramme

2. Partielle Ähnlichkeitssuche



Formhistogramme für 3D-Objekte

([AKKS 99] Ankerst M., Kastenmüller G., Kriegel H.-P., Seidl T.: 3D Shape Histograms for Similarity Search and Classification in Spatial Databases. Proc. Int. Symposium on Large Spatial Databases (SSD) 1999 (LNCS 1651), 207-226.)

- **Ziel**

- Translations- und rotationsinvariante Suche nach ähnlichen Formen im 3D.
- Objekte sind als Mengen von Oberflächenpunkten gegeben.
- Beispielanwendungen: Moleküle, CAD-Bauteile.

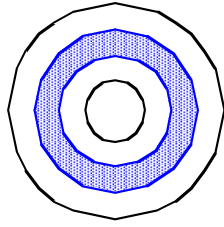
- **Grundidee: Formhistogramme**

- Partitioniere den 3D-Raum in Zellen (Histogramm-Bins).
- Bestimme den Anteil an Punkten des Objektes pro Zelle (normiertes Histogramm).
- Durch die Normierung werden die Histogramme unabhängig von der Punktedichte.

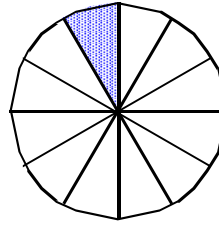


Formhistogramme, Beispiele

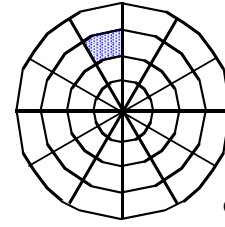
- Verschiedene Raumpartitionierungen



Schalenmodell



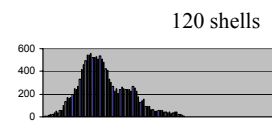
Sektorenmodell



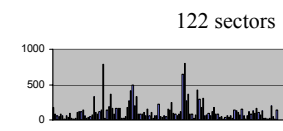
kombiniertes Modell

Quelle: [AKKS 99]

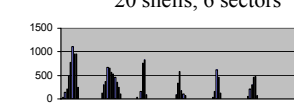
- Beispielobjekt Seryl-tRNA Synthetase (PDB-Code: 1SER-B)



Schalenmodell



Sektorenmodell



kombiniertes Modell

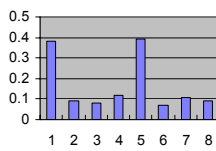
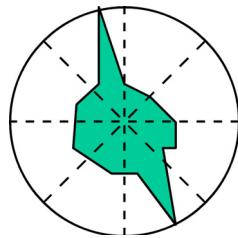
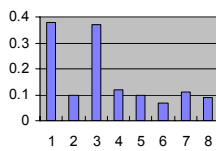
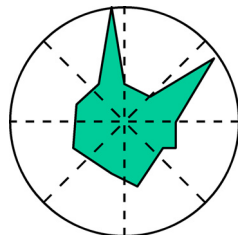
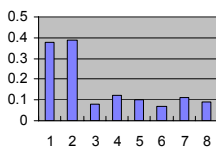
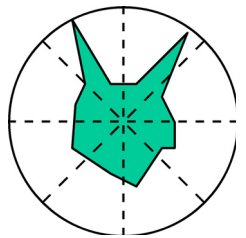


Formhistogramme, Definition

- **Formale Definition der Histogramme**
 - *Schalenmodell*: Definiere die Bins über den Abstand zum Mittelpunkt, d.h. Anzahl der Punkte auf der jeweiligen Schale.
 - *Sektorenmodell*: Anzahl der Punkte im jeweiligen Sektor.
 - *Kombiniertes Modell*: Synthese aus Schalen- und Sektorenmodell.
- **Invarianzen**
 - Translationsinvarianz durch Lagenormierung:
Verschiebung des Schwerpunkts eines Objektes in den Ursprung.
 - Rotationsinvarianz durch Hauptachsentransformation:
 - Drehung der Objekte, so dass die Hauptachsen auf den Koordinatenachsen liegen.
 - unnötig beim Schalenmodell, dieses ist inhärent rotationsinvariant.

Formhistogramme, Distanzfunktion (1)

- Probleme mit dem euklidischen Abstand (Beispiel im 2D)



Quelle: [AKKS 99]

- Die Form *c* gilt als genauso ähnlich zu *a* wie zu *b*.
- Die Ähnlichkeit räumlich benachbarter Histogramm-Bins wird nicht berücksichtigt.



Formhistogramme, Distanzfunktion (2)

- Quadratische Formen als Distanzfunktionen

$$d_A(p, q) = \sqrt{(p - q) \cdot A \cdot (p - q)^T} = \sqrt{\sum_i \sum_j a_{ij} \cdot (p_i - q_i) \cdot (p_j - q_j)}$$

- Für die Formhistogramme enthält die Ähnlichkeitsmatrix $A = [a_{ij}]$ die Ähnlichkeit von Einträgen in den Zellen i und j der Raumpartitionierung
- Diese Ähnlichkeit lässt sich aus dem Abstand d_{ij} der Zellen i und j berechnen, z.B.:

$$a_{ij} = \exp(-\sigma (d_{ij} / d_{max})^2)$$
- Als Abstand d_{ij} eignet sich beispielsweise der euklidische Abstand

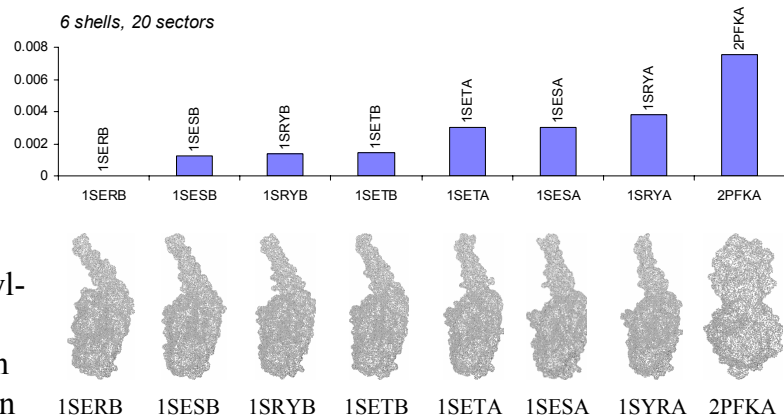
Formhistogramme, Ergebnisse (1)

- Einfache Suche nach ähnlichen Molekülen

Anfrage: 1SER-B

Die erwarteten Ergebnisse (Seryl-Proteasen) treten auf den ersten Positionen auf.

Das erste nicht-Seryl-Protein (2PFKA) unterscheidet sich in seiner Form sowie in seinem Distanzwert zur Anfrage deutlich von den Seryl-Proteinen.



Quelle: [AKKS 99]



Formhistogramme, Ergebnisse (2)

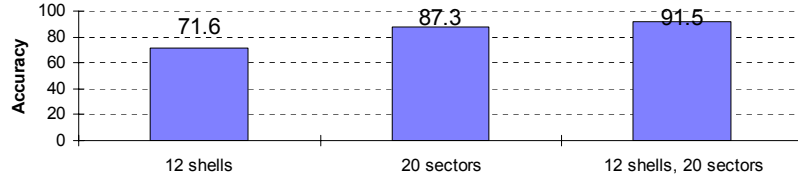
- **Klassifikation auf der gesamten Datenbank**
 - Das Ähnlichkeitsmodell wird in einem nächsten-Nachbar-Klassifikator verwendet.
 - D.h. ein Anfrageobjekt bekommt das Klassenlabel des ähnlichsten Objektes aus der Datenbank zugeordnet.
 - Klassifikationsgenauigkeit: Wie oft wird die Klassenentscheidung richtig getroffen?
 - “Leave-One-Out”-Experiment: jedes Objekt wird gegen die restliche DB angefragt.



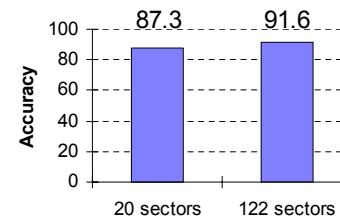
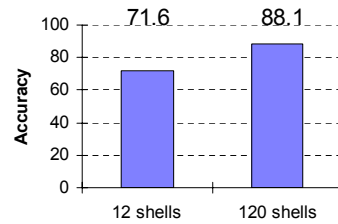
Formhistogramme, Ergebnisse (3)

- **Ergebnisse**

- Vergleich verschiedener Histogrammodelle (12 Schalen, 20 Sektoren, 12×20 Zellen).



- Vergleich verschieden-granularer Raumpartitionierungen (12 bzw. 120 Schalen bzw. 20 bzw. 122 Sektoren).

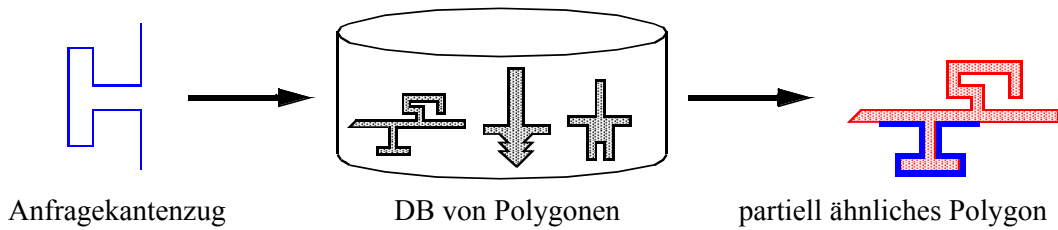




Partielle Ähnlichkeitssuche (1)

([BKK 97] Berchtold S., Keim D. A., Kriegel H.-P.: *Using Extended Feature Objects for Partial Similarity Retrieval*. VLDB Journal 6(4), 1997, 333-348.)

- **Ziel**
 - Translations-, rotations- und skalierungsinvariante Ähnlichkeit von Polygonen.
 - Unterstützung von partieller Ähnlichkeitssuche.

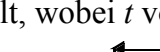


11

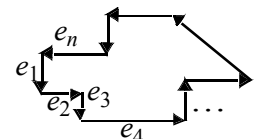


Partielle Ähnlichkeitssuche (2)

Datenbanksysteme II
Kapitel 8: Ähnlichkeitsmodelle für Polygone und 3D Daten

- **Polygondarstellung**
 - Ein Polygon ist ein geschlossener Kantenzug $\langle e_1, \dots, e_n \rangle$.
 - Polygon wird als parametrische Kurve $p(t)$ dargestellt, wobei t von 0 bis 2π läuft.
 - Da der Kantenzug geschlossen ist, gilt:
$$p(2\pi) = \int_{0 \dots 2\pi} p(t) dt = \sum_{i=1}^n e_i = p(0) = 0$$
 - Die Länge des Kantenzuges ist auf 2π normiert: $\sum_{i=1}^n |e_i| = 2\pi$
 - Über zwei Parameter a und b lassen sich Ausschnitte aus Polygonen beschreiben.

$$p(2\pi) = \int_{0..2\pi} p(t) dt = \sum_{i=1}^n e_i = p(0) = 0$$



- **Invariante Darstellungen**
 - *Skalierungsinvarianz*: Durch Normierung auf Länge 2π erreicht.
 - *Translationsinvarianz*: Die Polygone sind nicht absolut positioniert.
 - *Rotationsinvarianz*: Betrachte statt der konkreten Richtungen die Krümmungen!
 - Invarianz gegenüber gewähltem Startpunkt: In partieller Ähnlichkeit enthalten

12



Partielle Ähnlichkeitssuche (3)

- **Repräsentation der Krümmungen**
 - Problem: Kantenzug ist nicht stetig differenzierbar (scharfe Knicke an den Ecken).
 - Lösung: Glättung durch Approximation der Ecken mit Kreisausschnitten.
-
- The diagram illustrates the smoothing process. On the left, the original polygon (top) has sharp corners, while the smoothed polygon (bottom) has rounded corners. On the right, the curvature function for the original polygon (top) shows vertical jumps at each vertex, with a label '-∞' indicating a discontinuity. The curvature function for the smoothed polygon (bottom) is a continuous, smooth curve.
- Die Amplituden der Krümmungsfunktion hängen vom gewählten Radius r ab.
 - Die Breite eines Ausschlages in der Krümmungsfunktion hängt vom Winkel α_i ab.
 - Für die Krümmungsfunktion eines Polygons werden die Fourier-Koeffizienten gespeichert (analytische Berechnung)

Behandlung der partiellen Ähnlichkeit (1)

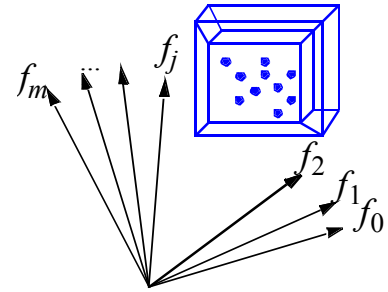
- **Repräsentation von Polygonausschnitten.**
 - Ausschnitte (a, b) aus Kantenzügen $p(t)$, d.h. $a \leq t \leq b$, werden selbst wieder auf den Bereich $0, \dots, 2\pi$ skaliert. Der Datenraum ist zyklisch für den Fall $b < a$.
 - Für die Polygonausschnitte werden ebenfalls die Krümmungsfunktionen berechnet und deren Fourier-Koeffizienten ermittelt.
 - Für den Featureraum werden einige der Koeffizienten als Dimensionen ausgewählt.
 - Die Ähnlichkeit von Polygonausschnitten wird über eine geeignete Distanzfunktion im hochdimensionalen Featureraum definiert (z.B. p -Norm).



Behandlung der partiellen Ähnlichkeit (2)

- **Unendlichkeitsproblem**

- Es gibt unendlich viele Ausschnitte (a, b) und damit Punkte im hochdimensionalen Featureraum, die weder alle berechnet noch alle gespeichert werden können.
- Lösung: Speichere nicht die einzelnen Punkte, sondern jeweils das minimal umgebende Hyperrechteck mehrerer Featurepunkte.
- Dazu verschiedene Strategien, wie viele Featurepunkte zusammengefasst werden.



Behandlung der partiellen Ähnlichkeit (3)

- **Zusammenfassen von Featurepunkten**

- Erster Schritt: Zusammenfassen der Featurepunkte für Abschnitte, die auf derselben Kante des Polygons beginnen und auf einer bestimmten anderen Kante enden (d.h. $n \cdot n$ viele Hyperrechtecke).
- Beobachtung: Manche dieser Boxen sind sehr klein, andere sehr groß.
- Kleine Boxen können weiter zusammengefasst werden:
 - Die Hyperrechtecke für benachbarte Kanten im Polygon werden zusammengefasst.
- Große Boxen können weiter zerlegt werden:
 - Zerlegung im Featureraum:
 - Auswahl bestimmter Achsen oder
 - Auswahl aller Achsen: dann gibt es 2^m viele Zerlegungsprodukte.
 - Alternative: Zerlege Boxen im zweidimensionalen Parameterraum, d.h. fasse andere Polygonausschnitte zusammen.